

# Высокомолекулярные соединения

## Серия Б

ВЫСОКОМОЛЕКУЛЯРНЫЕ СОЕДИНЕНИЯ, Серия Б, 2004, том 46, № 5, с. 905–911

УДК 541.64:547.569

### СОПОЛИМЕРИЗАЦИЯ ДИВИНИЛСУЛЬФИДА С ВИНИЛПИРИДИНАМИ И ИХ ПРОИЗВОДНЫМИ

© 2004 г. Н. С. Шаглаева\*, С. В. Амосова\*, Л. П. Шаулина\*\*, И. П. Голентовская\*\*,  
Г. А. Заварзина\*\*\*, Р. Г. Султангареев\*, С. В. Федоров\*, Г. А. Пирогова\*

\*Иркутский институт химии им. А.Е. Фаворского Сибирского отделения Российской академии наук  
664033 Иркутск, ул. Фаворского, 1

\*\*Иркутский государственный университет  
664003 Иркутск, ул. К. Маркса, 1

\*\*\*Иркутский государственный медицинский университет  
664003 Иркутск, ул. Красного Восстания, 1

Поступила в редакцию 09.07.2003 г.

Принята в печать 08.01.2004 г.

Путем радикальной полимеризации дивинилсульфида с 4-винилпиридином, 1-метил-4-винилпиридиний метилсульфатом и 1,2-диметил-5-винилпиридиний метилсульфатом получены сополимеры линейного и пространственного строения. Определены эффективные константы сополимеризации для дивинилсульфида и четвертичных солей винилпиридинов, свидетельствующие о большей реакционной способности последних. Сополимер дивинилсульфида с 4-винилпиридином, содержащий 12.67% серы, обладает высокой сорбционной способностью по отношению к ионам металлов: золота 740–1200 мг/г из 1 М растворов HCl и H<sub>2</sub>SO<sub>4</sub>; серебра 340 мг/г из 1 М раствора HNO<sub>3</sub>; платины 672 мг/г из 1 М растворов HCl и H<sub>2</sub>SO<sub>4</sub>; палладия 414 мг/г из 1 М растворов HCl и H<sub>2</sub>SO<sub>4</sub>.

#### ВВЕДЕНИЕ

Дивинилсульфид (ДВС) – перспективный, бифункциональный мономер и сивающий агент, использование которого даже в незначительных количествах (~2%) модифицирует полимеры, ионообменные смолы, каучуки, сорбенты и т.п., придавая им уникальные свойства [1]. Разработка высокоэффективного способа получения ДВС на базе новой реакции ацетилена и сероводорода или сульфида натрия [2–5] позволила впервые использовать его в качестве сивающего агента при синтезе ионообменных смол (вместо дивинилбензола) и создать серию ионитов со свойствами, значительно превосходящими существующие или принципиально новыми. В результате этих исследований среди большого количества

сорбентов был получен макросетчатый ионит на основе 2-метил-5-винилпиридина с дивинилсульфидной сшивкой.

Известен патент [6], в котором ДВС упомянут среди 40 других сивающих агентов, однако ни одного примера использования его для синтеза полимеров не приведено.

Цель настоящей работы – исследование радикальной сополимеризации ДВС с винилпиридинами и их производными, изучение сорбционных свойств полученных сополимеров.

#### ЭКСПЕРИМЕНТАЛЬНАЯ ЧАСТЬ

ДВС синтезировали по способу Трофимова и Амосовой [5]. Непосредственно перед опытом ДВС очищали перегонкой. 2-метил-5-винилпири-

E-mail: khal@irioch.irk.ru (Шаглаева Нина Савельевна).

**Таблица 1.** Сополимеризация ДВС с ВП ([ДАК] = 0.5 мас. %, 60°C, 6 ч)

| Состав исходной смеси, мол. % |      | Содержание, мас. % |       | Состав сополимера, мол. % |       | Выход, % |
|-------------------------------|------|--------------------|-------|---------------------------|-------|----------|
| ВП                            | ДВС  | N                  | S     | ВП                        | ДВС   |          |
| 20.0                          | 80.0 | 5.01               | 23.42 | 32.11                     | 67.89 | 65       |
| 40.1                          | 59.9 | 7.90               | 16.83 | 54.36                     | 45.64 | 75       |
| 50.0                          | 50.0 | 8.78               | 12.67 | 61.23                     | 38.77 | 92       |
| 80.0                          | 20.0 | 12.11              | 3.45  | 88.75                     | 11.25 | 80       |

дин (МВП) и 4-винилпиридин (ВП) – промышленные мономеры, очистку которых проводили многократной вакуумной перегонкой. Чистоту мономеров контролировали хроматографически. Четвертичные соли ВП с диметилсульфатом (МВПС) и МВП с диметилсульфатом (ДМВПС) получали по методике [7].

Радикальную сополимеризацию проводили ампульным методом в присутствии ДАК при 60°C. Нерастворимые сополимеры ДВС с ВП промывали бензолом, ацетоном, водой и сушили до постоянной массы в вакууме. Сополимеры ДВС с МВПС и ДМВПС выделяли из реакционной смеси осаждением. В качестве осадителя использовали изопропиловый спирт. Переосаждение этих сополимеров проводили дважды. Состав сополимеров рассчитывали по данным элементного анализа. Степень набухания сополимера ДВС и ВП определяли весовым методом. Характеристическую вязкость измеряли в 10%-ном растворе NaCl при 25°C.

ИК-спектры снимали в таблетках с KBr и в вазелиновом масле на спектрометре IFS-25. УФ-спектры записывали на приборе "Specord UV-VIS". Концентрация растворов солей в этиловом спирте составляла 0.05–0.1 моль/л.

Спектры ЯМР <sup>13</sup>C сополимеров регистрировали на спектрометре VXR-500S фирмы "Varian" (рабочая частота 125.5 МГц) с релаксационной задержкой 2.5 с, импульс 90° в растворе ДМСО-d<sub>6</sub>. В качестве релаксанта использовали *трис*-ацетилацетонат хрома (0.02 моль/л).

Сорбционные характеристики устанавливали в статическом режиме по отношению к хлорокомплексам платины (IV), палладия (II), золота (III) и серебра (I) [11, 12]. Содержание золота и серебра в

растворе контролировали атомно-абсорбционным методом, платины и палладия – фотометрическим по реакции образования их хлороловянных комплексов.

## РЕЗУЛЬТАТЫ И ИХ ОБСУЖДЕНИЕ

### *Сополимеризация ДВС с винилпиридинами и их производными*

Использование МВП в качестве сомономера в радикальной сополимеризации с ДВС способствует образованию сополимеров с выходом не более 10%. Изменение состава мономерной смеси, условий сополимеризации и природы инициатора не приводит к увеличению выхода продукта реакции, в то время как сополимеризация ДВС с ВП протекает довольно легко и с количественным выходом. Различную реакционную способность винилпиридинов можно объяснить положением виниловой группы по отношению к атому азота. Углеродные атомы пиридинового цикла в  $\alpha$ -и  $\gamma$ -положении имеют пониженную электронную плотность по сравнению с  $\beta$ -углеродным атомом и поэтому 2- и 4-винилпиридины более реакционноспособны. Они легче реагируют с нуклеофильными реагентами, чем 3- и 5-винилпиридины.

При проведении сополимеризации ДВС с ВП получены соединения, которые представляют собой порошки желтого цвета, устойчивые при длительном хранении, не растворимые в органических растворителях и в растворах кислот и щелочей. Результаты сополимеризации приведены в табл. 1.

В ИК-спектре сополимера отсутствуют полосы поглощения, характерные для виниловой

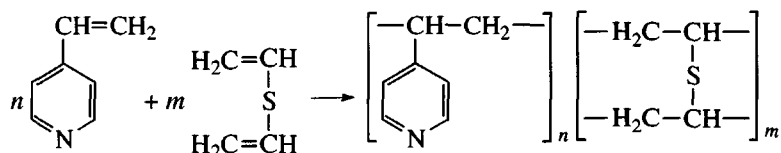
**Таблица 2.** Сополимеризация МВПС с ДВС (ледяная  $\text{CH}_3\text{COOH}$ ,  $[\text{ДАК}] = 5 \times 10^{-3}$  моль/л,  $60^\circ\text{C}$ )

| Состав исходной смеси, мол. % |       | Содержание N, мас. % | Состав сополимера, мол. % |       | Выход, % | [ $\eta$ ], дL/g |
|-------------------------------|-------|----------------------|---------------------------|-------|----------|------------------|
| МВПС                          | ДВС   |                      | МВПС                      | ДВС   |          |                  |
| 87.85                         | 12.15 | 5.94                 | 94.87                     | 5.13  | 11.25    | 0.68             |
| 60.67                         | 39.33 | 5.56                 | 80.53                     | 19.47 | 11.12    | 0.53             |
| 49.68                         | 50.32 | 5.39                 | 74.96                     | 25.06 | 10.85    | 0.45             |
| 16.61                         | 83.39 | 5.13                 | 67.27                     | 32.73 | 10.72    | 0.39             |
| 6.15                          | 93.85 | 4.39                 | 49.60                     | 50.40 | 10.67    | 0.32             |

группы ВП при  $1640 \text{ cm}^{-1}$ , но остаются неизменными полосы поглощения пиридинового кольца ( $1600, 1555, 1490, 1068 \text{ cm}^{-1}$ ). Полоса поглощения при  $660 \text{ cm}^{-1}$  может быть отнесена к валентным колебаниям связи C–S.

Составы сополимеров, рассчитанные по содержанию азота и серы, удовлетворительно согласуются между собой.

Образование нерастворимого продукта, данные ИК-спектроскопии и элементного анализа указывают на то, что сополимеризация ДВС с ВП протекает с раскрытием двух двойных связей в ДВС, что приводит к образованию сополимера, имеющего сетчатую структуру:



Полученные сополимеры хорошо набухают в органических растворителях: в ацетоне – на 500%, в гексане – на 300%.

Поскольку ДВС обладает электронодонорным характером, введение в качестве сомономера вещества акцепторного характера способствует донорно-акцепторному взаимодействию мономеров, что в свою очередь должно приводить к чередующейся сополимеризации [9–11]. Соль пиридиния может выполнять роль акцептора, так как двойная связь в катионе четвертичной соли характеризуется значительной электрофильностью [7].

Синтез сополимеров ДВС с МВПС и ДМВПС осуществляли в две стадии: вначале получали четвертичные соли ВП и МВП, а затем проводили их сополимеризацию с ДВС.

Строение солей доказывали с помощью ИК-, УФ-спектроскопии и элементного анализа. В ИК-спектрах исследуемых образцов присутству-

ют полосы поглощения, характерные для виниловой группы при  $1640 \text{ cm}^{-1}$ . Смещение полосы поглощения с  $1600$  к  $1630 \text{ cm}^{-1}$  указывает на образование катиона пиридиния. В УФ-спектрах синтезированных четвертичных солей наблюдаются две основные полосы поглощения при  $224$  и  $266 \text{ nm}$ , в то время как в УФ-спектре ВП или МВП имеется только одна полоса при  $245 \text{ nm}$ .

Сополимеризацию четвертичных солей с ДВС проводили в среде ледяной уксусной кислоты, так как МВПС, ДМВПС и ДВС хорошо растворяются в данном растворителе. Результаты сополимеризации приведены в табл. 2 и 3. Доказательством протекания сополимеризации по виниловой группе сомономеров служат кривые турбидиметрического титрования и данные спектроскопии ИК и ЯМР.

Кривые турбидиметрического титрования сополимеров имеют плавную форму, соответствующую однокомпонентной системе. В ИК-спектрах полученных соединений отсутствуют полосы

Таблица 3. Сополимеризация ДМВПС с ДВС (ледяная  $\text{CH}_3\text{COOH}$ ,  $[\text{ДАК}] = 5 \times 10^{-3}$  моль/л,  $60^\circ\text{C}$ )

| Состав исходной смеси, мол. % |      | Содержание N, мас. % | Состав сополимера, мол. % |       | Выход, % | $[\eta]$ , дL/г |
|-------------------------------|------|----------------------|---------------------------|-------|----------|-----------------|
| ДМВПС                         | ДВС  |                      | ДМВПС                     | ДВС   |          |                 |
| 65.0                          | 35.0 | 5.55                 | 92.0                      | 8.0   | 12.11    | 0.58            |
| 55.0                          | 45.0 | 5.45                 | 88.0                      | 12.0  | 10.81    | 0.51            |
| 50.0                          | 50.0 | 5.39                 | 85.47                     | 14.53 | 10.65    | 0.40            |
| 37.0                          | 63.0 | 5.27                 | 80.53                     | 19.47 | 9.82     | 0.29            |
| 25.0                          | 75.0 | 5.11                 | 74.96                     | 25.04 | 8.34     | 0.18            |
| 20.0                          | 80.0 | 4.90                 | 68.0                      | 32.0  | 8.03     | 0.12            |

Таблица 4. Эффективные константы сополимеризации четвертичных солей ( $M_1$ ) с ДВС ( $M_2$ ) (ледяная  $\text{CH}_3\text{COOH}$ ,  $[\text{ДАК}] = 5 \times 10^{-3}$  моль/л,  $60^\circ\text{C}$ )

| Мономер | $r_1^{\text{эф}}$ | $r_2^{\text{эф}}$ | $r_1^{\text{эф}} \times r_2^{\text{эф}}$ | $1/r_1^{\text{эф}}$ | $1/r_2^{\text{эф}}$ |
|---------|-------------------|-------------------|--|---------------------|---------------------|
| МВПС    | 2.05              | 0.01              | 0.0205                                   | 0.49                | 100.0               |
| ДМВПС   | 5.72              | 0.08              | 0.4576                                   | 0.18                | 12.5                |

поглощения виниловой группы ( $1640 \text{ cm}^{-1}$ ), но остаются неизменными полосы поглощения, характерные для катиона пиридина (1630, 1580, 1490,  $1020 \text{ cm}^{-1}$ ). Появление широкой интенсивной полосы в области  $1190\text{--}1250 \text{ cm}^{-1}$  характерно для сульфат анионов  $\text{SO}_4^{2-}$ . Узкая симметричная полоса при  $1580 \text{ cm}^{-1}$  свидетельствует о наличии свободных группировок  $-\text{S}-\text{CH}=\text{CH}_2$ . В спектре ЯМР  $^{13}\text{C}$  хим. сдвиги сигналов  $\alpha$ -углеродных атомов тиовиниловой группы  $-\text{S}-\text{CH}=\text{CH}_2$  наблюдаются в области 132 м.д., а сдвиги сигналов  $\beta$ -углеродных атомов – в области 109 м.д.

При сополимеризации МВПС или ДМВПС с ДВС при конверсии не более 12.2% получены растворимые продукты реакции. По-видимому, в данном случае сополимеризация протекает с участием одной виниловой группы ДВС, а непрореагировавшие двойные связи звеньев ДВС в сополимере способны к образованию циклических структур [1].

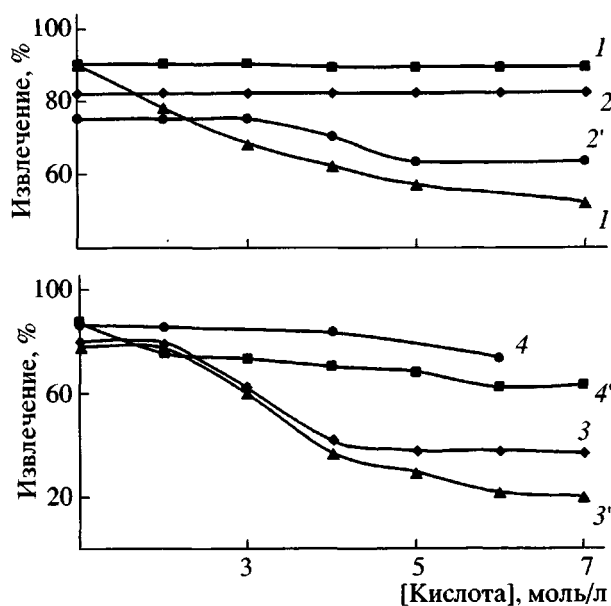
Сополимеры образуются при любом начальном соотношении мономеров и обогащены звеньями МВПС и ДМВПС. Продукты реакции независимо от их состава растворимы в ДМСО. С увеличением содержания ДВС в сополимерах их растворимость в воде уменьшается, а при содер-

жании ДВС 20 мол.% и выше образцы сополимера теряют способность растворяться в воде. С увеличением содержания звеньев ДВС в составе сополимера выход и вязкость продуктов реакции уменьшается.

Способность четвертичных солей МВПС и ДМВПС к диссоциации обусловливает многокомпонентность реакционной системы. В растворе ледяной уксусной кислоты возможно сосуществование различных состояний ионогенных групп молекул мономеров и растущих цепей (нейонизированные молекулы, контактные и разделенные ионные пары, ионы). Поэтому на основании данных табл. 2 и 3 были рассчитаны значения эффективных констант сополимеризации (табл. 4) для изученных систем по уравнению, предложенному в работе [12]. По форме оно аналогично уравнению Майо–Льюиса, но включает вместо истинных активностей мономеров эффективные константы сополимеризации:

$$\frac{[m_1]}{[m_2]} = \frac{[M_{01}]r_1^{\text{эф}}[M_{01}] + [M_{02}]}{[M_{02}]r_2^{\text{эф}}[M_{02}] + [M_{01}]},$$

где  $r_1^{\text{эф}} = f(\alpha)$ , а  $r_2^{\text{эф}} = f(\beta)$  – эффективные константы сополимеризации;  $\alpha$  и  $\beta$  – мольные доли диссоциированных или комплексно связанных



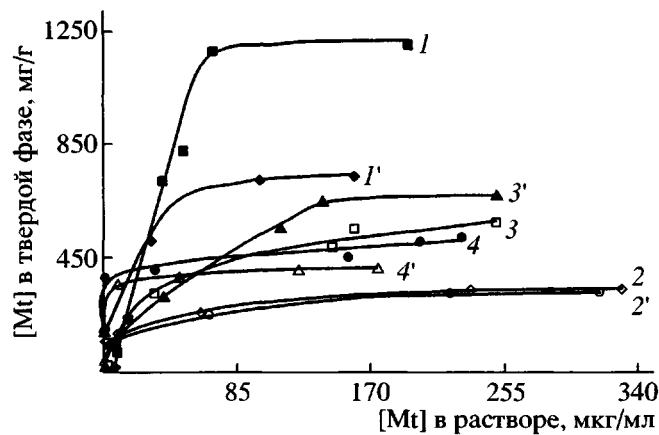
**Рис. 1.** Зависимость эффективности извлечения хлорокомплексов Au (1, 1'), Pt (3, 3'), Pd (4, 4') и катиона Ag (2, 2') от концентрации серной (1–4) и соляной (1'–4') кислот ( $m_{Pt} = 0.78$  мг,  $m_{Pd} = 1.91$  мг,  $m_{Au} = 1.62$  мг,  $m_{Ag} = 2.0$  мг,  $V = 20$  мл,  $t = 2$  ч).

мономеров и радикалов роста  $\sim M_1^{\cdot}$  и  $\sim M_2^{\cdot}$  соответственно;  $M_{01}$  и  $M_{02}$  – суммарные концентрации мономеров  $M_1$  и  $M_2$ .

Полученные величины  $r_1^{3\Phi}$  и  $r_2^{3\Phi}$  указывают на то, что четвертичные соли являются более реакционноспособными мономерами, чем ДВС. Сравнительная оценка реакционной способности четвертичных солей в сополимеризации с ДВС может быть проведена по величинам  $1/r_1^{3\Phi}$  и  $1/r_2^{3\Phi}$ . Из их сопоставления видно, что МВПС более активен при взаимодействии как со “своим” радикалом, так и с радикалом ДВС, чем ДМВПС. При сополимеризации ДВС с МВПС образуются более чередующиеся сополимеры, чем в случае взаимодействия ДВС с ДМВПС.

#### Изучение сорбционных характеристик сополимера ДВС с ВП

Зависимость эффективности извлечения хлорокомплексов Pt, Pd, Au и катиона Ag сополимером ДВС с ВП от природы и концентрации кислот представлена на рис. 1. Для хлорокомплексов металлов (за исключением тетрахлоридного комплекса золота) с увеличением концентрации кис-



**Рис. 2.** Кривые равновесного распределения Au (1, 1'), Ag (2, 2'), Pt (3, 3'), Pd (4, 4') в 1 М растворах серной (1–4) и соляной (1'–4') кислот ( $m_C = 10$  мг,  $V = 20$  мл,  $t = 2$  ч).

лот отмечается некоторое снижение сорбции в сернокислой среде. В большей степени снижение сорбции проявляется для хлорокомплексов платины и золота в солянокислой среде. Приведенный характер зависимости свидетельствует в пользу анионного обмена по третичному атому азота и проявлению конкурирующего влияния анионов кислоты с учетом их размеров и подвижности. Не исключается и координационное взаимодействие ионов металлов по атомам азота и серы, что в большей степени характерно для катионной формы серебра. Для выяснения механизма взаимодействия изучены ИК-спектры образцов сорбента и концентрата. В ИК-спектре сорбента, обработанного 1 М соляной кислотой, появляется широкая полоса поглощения в области 2600–3000  $\text{cm}^{-1}$ , характерная для аммониевого катиона. Смещение полосы поглощения с 1600 к 1630  $\text{cm}^{-1}$  также указывает на образование протонированного атома азота в пиридине. Такие же изменения сохраняются и в ИК-спектрах концентраторов. Полученные данные позволяют предполагать, что для ацидокомплексов сорбция происходит за счет ионного обмена, а затем осуществляется координация с вытеснением лигандов из внутренней сферы хлорокомплекса металла. Время установления равновесия составляет 60 мин для катиона серебра при времени полусорбции  $\tau_{1/2} = 15$  мин; для анионных комплексов Pt, Pd и Au равновесие устанавливается за 30 мин при  $\tau_{1/2} = 5$ –10 мин.

На рис. 2 приведены кривые равновесного распределения ионов металлов в зависимости от их

**Таблица 5.** Значения сорбционной емкости СЕ сополимера ДВС с ВП, содержащего 12.67% серы, и коэффициентов распределения металлов  $D$  для 1 М растворов кислот

| Металл | СЕ, мг/г | $D$               | СЕ, мг/г  | $D$                | СЕ, мг/г | $D$               |
|--------|----------|-------------------|-----------|--------------------|----------|-------------------|
|        | HCl      |                   | $H_2SO_4$ |                    | $HNO_3$  |                   |
| Pt     | 670      | $1.1 \times 10^5$ | 570       | $4.0 \times 10^4$  | -        | -                 |
| Pd     | 410      | $1.3 \times 10^5$ | 520       | $12.1 \times 10^5$ | -        | -                 |
| Au     | 730      | $1.5 \times 10^5$ | 1200      | $1.6 \times 10^4$  | -        | -                 |
| Ag     | -        | -                 | 340       | $2.3 \times 10^4$  | 330      | $3.8 \times 10^5$ |

концентрации. На основе полученной зависимости рассчитаны значения сорбционной емкости для 1 М растворов кислот и коэффициенты распределения металлов (табл. 5).

Сополимер имеет высокие значения сорбционной емкости по отношению к хлорокомплексам Pt, Pd и Au, что, возможно, связано с двумя типами взаимодействий – ионообменным и координационным. Высокие значения коэффициентов распределения свидетельствуют об эффективности сорбции и возможности группового извлечения благородных металлов.

Установлено, что в условиях извлечения благородных металлов в 1 М растворах кислот не сорбируются железо, кобальт, никель, цинк. При исходной концентрации 1 мг/мл медь извлекается на 18%.

Для регенерации сорбента в качестве элюента благородных металлов опробован 3%-ный раствор тиомочевины в 1 М соляной кислоте. Наиболее полно десорбция протекает при 50–60°C в течение 1 ч. Полученные результаты позволяют применять сорбент в аналитической химии.

Таким образом, изменение природы сомономера в сополимеризации с ДВС приводит к получению сополимеров как линейного строения, так и пространственной структуры. Результаты исследования сорбционных свойств образца ДВС с ВП указывают на возможность широкого использования сополимера в качестве сорбента. Перспектива практического применения водорастворимых сополимеров на основе ДВС может быть связана с их антимикробной активностью [1], а также с адсорбционной способностью и воз-

можностью регулирования устойчивости дисперсных систем.

#### СПИСОК ЛИТЕРАТУРЫ

1. Трофимов Б.А., Амосова С.В. Дивинилсульфид и его производные. Новосибирск: Наука, 1983.
2. Пат. 1369280 Великобритания. 1972 // Chem. Abstrs. 1975. V. 83. 27563.
3. Пат. 2260434 ФРГ. 1974 // Chem. Abstrs. 1974. V. 81. 136918.
4. Пат. 1369280 Англии. 1974 // Chem. Abstrs. 1974. V. 81. 136918.
5. Пат. 3887623 США. 1973 // Official Gazette. 1975. V. 935. Р. 1
6. Пат. 3367889 США. 1968 // Chem. Abstrs. 1968. V. 68. 87890.
7. Георгиева В.Р., Зубов В.П., Кабанов В.А., Каргин В.А. // Докл. АН СССР. 1970. Т. 190. № 5. С. 1128.
8. Мясоедова Г.В., Саввин С.Б. Хелатообразующие сорбенты. М.: Наука, 1984.
9. Кабанов В.А., Зубов В.П., Семчиков Ю.Д. Комплексно-радикальная полимеризация. М.: Химия, 1987.
10. Чулпанов К.А., Рахматуллаев Х., Джалилов А.Т. // Высокомолек. соед. А. 1985. Т. 27. № 4. С. 721.
11. Зубов В.П., Голубев В.Б., Стояченко И.Л. Новое в чередующейся сополимеризации. М.: Наука, 1983.
12. Новаков И.А., Навроцкий А.В. // Высокомолек. соед. С. 2002. Т. 44. № 9. С. 1660.

## Copolymerization of Divinyl Sulfide with Vinylpyridines and Their Derivatives

N. S. Shaglaeva\*, S. V. Amosova\*, L. P. Shaulina\*\*, I. P. Golentovskaya\*\*,  
G. A. Zavarzina\*\*\*, R. G. Sultangareev\*, S. V. Fedorov\*, and G. A. Pirogova\*

\*Favorskii Institute of Chemistry, Siberian Division, Russian Academy of Sciences,  
ul. Favorskogo 1, Irkutsk, 664033 Russia

\*\*Irkutsk State University,  
ul. K. Markska 1, Irkutsk, 664003 Russia

\*\*\*Irkutsk State University of Medicine,  
ul. Krasnogo Vosstaniya 1, Irkutsk, 664003 Russia

**Abstract**—Linear and three-dimensional copolymers were prepared by the free-radical copolymerization of divinyl sulfide with 4-vinylpyridine, 1-methyl-4-vinylpyridinium methyl sulfate, and 1,2-dimethyl-5-vinylpyridinium methyl sulfate. The effective reactivity ratios measured for the copolymerization of divinyl sulfide and quaternary salts of vinylpyridines indicated a higher reactivity of the latter comonomers. Poly(divinyl sulfide-*co*-4-vinylpyridine) containing 12.67% sulfur had a high sorption capacity with respect to metal ions: gold, 740–1200 mg/g from 1 M HCl and H<sub>2</sub>SO<sub>4</sub> solutions; silver, 340 mg/g from a 1 M HNO<sub>3</sub> solution; platinum, 672 mg/g from 1 M HCl and H<sub>2</sub>SO<sub>4</sub> solutions; and palladium, 414 mg/g from 1 M HCl and H<sub>2</sub>SO<sub>4</sub> solutions.